

I - 3 非正六角形孔と有する板の孔縁応力

九州大学工学部 正員 山崎 徳也

” 大学院 卒業員 後藤恵之輔

鹿島建設K.K. 正員 ○田 実

1 諸言 さきに著者らは正六角形孔と有する板の孔縁応力について論じたが、本論ではこれとさらに発展させ、形状に一般性ともいふて非正六角形孔と有する板を対象として内荷重として引張力、せん断力をあらわす曲げモーメントを受けた場合に孔縁および直角座標軸上の応力と二次元弹性問題として求めた。孔縁応力については孔の形状との関係と調べ、いかなる形状のとき最小の孔縁応力かをもと考察し、つゞいて軸上の他の応力により本解法の有効性を検討した。

2 近似六角形の式 直角座標の原点を中心として一边が y 軸に直交するとき近似六角形の式は次のとく表わされる。(図-1 参照)

$$\begin{aligned} x &= b_0 \left\{ (e^{\alpha} + a_1 e^{-\alpha}) \cos \beta + a_5 e^{-5\alpha} \cos 5\beta \right\} \\ y &= b_0 \left\{ (e^{\alpha} - a_1 e^{-\alpha}) \sin \beta - a_5 e^{-5\alpha} \sin 5\beta \right\} \end{aligned} \quad (1)$$

ここで b_0 : 長さの単位をもつ任意の正数, $\alpha: 0 \leq \alpha \leq \infty$, $\beta: -\pi \leq \beta \leq \pi$
また係数 a_1 やび a_5 は b, d を図-1 の x と y と z とより次式で与えられる。

$$a_1 = \frac{1}{8(1+\lambda)} \left\{ 5(1-\lambda) - \sqrt{1+\lambda^2 + 2\lambda(11-48\sigma/\pi)} \right\}, \quad a_5 = \frac{1-\lambda}{1+\lambda} a_1,$$

$$z = l = \lambda = \frac{d}{b} \quad \sigma = \frac{\pi b_0^2}{4b^2 \lambda} (1 - a_1^2 - 5a_5^2)$$

本論において取扱う六角形孔は式(1)における $\alpha = 0$ とき、 β と先ず $b_0 = 1$, $\sigma = 0.77$ (図-1)
を用いて入直ししてその形状を示せば図-1 の x と y と z とである。ひから β の値に対しては $2.0 \geq \lambda \geq 0.5$ の範囲で式(1)を適用できる。

3. 応力の一般式および境界条件式 直交曲線座標における応力の一般式は Airy の応力函数を X として次のとく表わされる。

$$\begin{aligned} \widehat{\Delta X} &= \frac{1}{b_0^2 J^2} \left\{ J \frac{\partial^2 X}{\partial \beta^2} + \frac{1}{2} \left(\frac{\partial X}{\partial \alpha} \frac{\partial J}{\partial \alpha} - \frac{\partial X}{\partial \beta} \frac{\partial J}{\partial \beta} \right) \right\} \\ \widehat{\Delta Y} &= \frac{1}{b_0^2 J^2} \left\{ J \frac{\partial^2 Y}{\partial \alpha^2} + \frac{1}{2} \left(\frac{\partial X}{\partial \beta} \frac{\partial J}{\partial \beta} - \frac{\partial X}{\partial \alpha} \frac{\partial J}{\partial \alpha} \right) \right\} \\ \widehat{\Delta Z} &= \frac{1}{b_0^2 J^2} \left\{ -J \frac{\partial^2 Z}{\partial \alpha \partial \beta} + \frac{1}{2} \left(\frac{\partial X}{\partial \beta} \frac{\partial J}{\partial \alpha} + \frac{\partial X}{\partial \alpha} \frac{\partial J}{\partial \beta} \right) \right\} \\ z &= l = J = \frac{1}{b_0} \left\{ \left(\frac{\partial X}{\partial \alpha} \right)^2 + \left(\frac{\partial Y}{\partial \beta} \right)^2 \right\} \end{aligned} \quad (2)$$

よって X は基礎方程式 $\nabla^4 X = 0$ を満足すべく、この式の本論では適する一般解を式(1)を用いて求めれば次式のとくである。

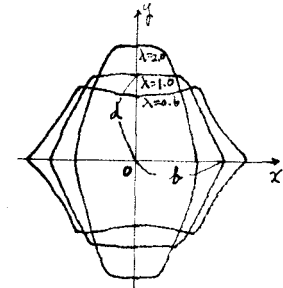
$$X = A_0 \alpha + B_0 \beta + \sum_{n=1}^{\infty} (A_n e^{n\alpha} + B_n e^{-n\alpha}) \cos n\beta + \frac{1}{2} \sum_{n=1}^{\infty} C_n [e^{(n+1)\alpha} \sin(n-1)\beta + a_1 e^{(n-1)\alpha} \sin(n+1)\beta] \\ + a_5 e^{(n-5)\alpha} \sin(n+5)\beta \} + \frac{1}{2} \sum_{n=1}^{\infty} D_n [e^{-(n+1)\alpha} \sin(n+1)\beta + a_1 e^{-(n+1)\alpha} \sin(n-1)\beta + a_5 e^{-(n+5)\alpha} \sin(n-5)\beta] \\ + (E_1 \alpha + E_2 \beta) \{ (e^{\alpha} + a_1 e^{-\alpha}) \cos \beta + a_5 e^{-5\alpha} \cos 5\beta \} + (G_1 \alpha + G_2 \beta) \{ (e^{\alpha} - a_1 e^{-\alpha}) \sin \beta - a_5 e^{-5\alpha} \sin 5\beta \} \quad (4)$$

ここで $A_0, B_0, A_n, B_n, C_n, D_n, E_1, E_2, G_1, G_2$ は孔縁における境界条件より決定される未定常数である。

有孔板の一様な引張力、せん断力、曲げモーメントを受けるときの応力函数は一般に次のとく表わされる。

$$\text{すなはち } X = X_0 + X_1 = \sum_{n=0}^{\infty} F_n(\alpha) \sin n\beta \quad (5)$$

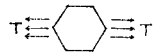
ここで X_0 は孔のない場合の応力函数であり、 X_1 は $X = X_0 + X_1$ が孔縁の境界条件を満足し、無限遠では X_1 のみ用いられ $\widehat{\Delta X}, \widehat{\Delta Y}, \widehat{\Delta Z}$ が消失するときの函数である。孔縁の境界条件 $(\widehat{\Delta X})_{\alpha=0} = (\widehat{\Delta Z})_{\alpha=0} = 0$ (式(5)) と用いて次のとく表わされる。



$$\alpha = 0 \text{ または } 2 \quad F_0' = 0, \quad F_n = 0, \quad F_n' = 0 \quad (n = 1, 2, 3, \dots) \quad (6)$$

式(6)を用うれば孔縫応力 $(\widehat{BB})_{\alpha=0}$ は次式のとく簡単な形で表わされる。

$$(\widehat{BB})_{\alpha=0} = \frac{1}{B_0^2} \int \frac{\partial \chi}{\partial \alpha^2} \quad (7)$$

4. 無限遠と非正六角形孔の一辺は平行の構造引張力 T の作用する場合(図-2参照) 

孔の端の場合の応力函数 χ_0 は式(4)の直線曲線座標を用いた式(8)で与えられる。

$$\chi_0 = \frac{T}{2} y^2 = \frac{T B_0^2}{2} \left\{ \frac{1}{2} (e^{2\alpha} - 2A_1 + A_1^2 e^{-2\alpha} + A_5^2 e^{-10\alpha}) - \frac{1}{2} (e^{2\alpha} - 2A_1 + A_1^2 e^{-2\alpha}) \cos 2\beta \right. \quad (8)$$

$$\left. - A_5 (e^{-4\alpha} - A_1 e^{-6\alpha}) \cos 4\beta + A_5 (e^{-4\alpha} - A_1 e^{-6\alpha}) \cos 6\beta - \frac{1}{2} A_5^2 e^{-10\alpha} \cos 10\beta \right\} \quad (8)$$

$\partial^2 \chi_0 / \partial x^2 = 0, \partial^2 \chi_0 / \partial y^2 = 0, \partial^2 \chi_0 / \partial x \partial y = 0$ とすれば式(8)と図-2 及び式(4)の条件より

選んでよい。すなはち

$$\begin{aligned} \chi_1 &= \frac{T B_0^2}{2} \left\{ (A_0 \alpha + \frac{1}{2} A_1 e^{-2\alpha} D_1 + \frac{1}{2} A_5 e^{-10\alpha} D_5) + [B_2 e^{-2\alpha} + \frac{1}{2} D_1 + \frac{1}{2} (A_1 e^{-4\alpha} + A_5 e^{-8\alpha}) D_3 + \frac{1}{2} A_5 e^{-12\alpha} D_7] \right\} \cos 2\beta \\ &+ \{ B_4 e^{-4\alpha} + \frac{1}{2} A_5 e^{-6\alpha} D_1 + \frac{1}{2} A_1 e^{-6\alpha} D_5 + \frac{1}{2} A_5 e^{-14\alpha} D_9 \} \cos 4\beta + \{ B_6 e^{-6\alpha} \\ &+ \frac{1}{2} e^{-4\alpha} D_5 + \frac{1}{2} A_1 e^{-8\alpha} D_7 \} \cos 6\beta + \{ B_8 e^{-8\alpha} + \frac{1}{2} e^{-6\alpha} D_7 + \frac{1}{2} A_1 e^{-10\alpha} D_9 \} \cos 8\beta \\ &+ \{ B_{10} e^{-10\alpha} + \frac{1}{2} e^{-8\alpha} D_9 \} \cos 10\beta \end{aligned} \quad (9)$$

式(8), (9)を用いて

$$\chi = \frac{T B_0^2}{2} (F_0 + F_2 \cos 2\beta + F_4 \cos 4\beta + F_6 \cos 6\beta + F_8 \cos 8\beta + F_{10} \cos 10\beta) \quad (10)$$

ここで F_0, F_2, \dots, F_{10} は A_0, A_1, A_5 および未定常数 $B_2, B_4, B_6, \dots, D_9$ の函数である。

未定常数は境界条件式(6)を満たすには $F_6 = F_8 = F_{10} = 0$ となる結果本題の χ は

次式のとく求められる。

$$\chi = \frac{T B_0^2}{2} (F_0 + F_2 \cos 2\beta + F_4 \cos 4\beta) \quad (10)$$

$$F_0 = \frac{1}{2} (e^{2\alpha} - 2A_1 + A_1^2 e^{-2\alpha} - A_5^2 e^{-10\alpha}) + (-1 + A_1^2 - 5A_1^2 + A_1 N_T) \alpha + \frac{1}{2} A_1 N_T e^{-2\alpha}$$

$$F_2 = -\frac{1}{2} (e^{2\alpha} - 2A_1) - \left\{ \frac{1}{2} + A_5 (A_1 + 2A_5) N_T \right\} e^{2\alpha} + \frac{1}{2} N_T + \frac{1}{2} A_5 N_T (A_1 e^{4\alpha} + A_5 e^{-8\alpha}) - 4$$

$$F_4 = \frac{1}{2} A_5 N_T e^{-2\alpha} - A_5 N_T e^{-4\alpha} + \frac{1}{2} A_5 N_T e^{-6\alpha} \quad (11)$$

$$N_T = \frac{2 - 2A_1}{1 - A_1 A_5 - 3A_5^2}$$

式(10)と式(3)は式(1)に入れて拡大率 λ は次のとくである。

$$J = (e^{2\alpha} + A_1^2 e^{-2\alpha} + 2A_5^2 e^{-10\alpha}) - 2A_1 \cos 2\beta + 10A_1 A_5 e^{-6\alpha} \cos 4\beta - 10A_5 e^{-4\alpha} \cos 6\beta \quad (12)$$

したがって

$$\frac{\partial J}{\partial \alpha} = 2e^{2\alpha} - 2A_1^2 e^{-2\alpha} - 250A_5^2 e^{-10\alpha} - 60A_1 A_5 e^{-6\alpha} \cos 4\beta + 40A_5 e^{-4\alpha} \cos 6\beta \quad (13)$$

$$\frac{\partial J}{\partial \beta} = 4A_1 \sin 2\beta - 40A_1 A_5 e^{-6\alpha} \sin 4\beta + 60A_5 e^{-4\alpha} \sin 6\beta$$

式(10)より χ の α, β は(1階お及び2階の微分値)と(2次式)で与えられる。

$$\frac{\partial \chi}{\partial \alpha} = \frac{T B_0^2}{2} (F_0' + F_2' \cos 2\beta + F_4' \cos 4\beta), \quad \frac{\partial^2 \chi}{\partial \alpha^2} = \frac{T B_0^2}{2} (F_0'' + F_2'' \cos 2\beta + F_4'' \cos 4\beta) \quad (14)$$

$$\frac{\partial \chi}{\partial \beta} = -T B_0^2 (F_2 \sin 2\beta + 2F_4 \sin 4\beta), \quad \frac{\partial^2 \chi}{\partial \beta^2} = -T B_0^2 (2F_2 \cos 2\beta + 8F_4 \cos 4\beta) \quad (14)$$

$$\frac{\partial^2 \chi}{\partial \alpha \partial \beta} = -T B_0^2 (F_2' \sin 2\beta + 2F_4' \sin 4\beta) \quad (14)$$

ここで $F_0' \sim F_4'$ および $F_0'' \sim F_4''$ は式(10)の $F_0 \sim F_4$ と $\alpha = 2$ に階お及び

2階(微分)のものである。以上式(10)～式(14)と式(2)～式(4)を用いて入

れれば所要の $\widehat{BB}, \widehat{BB}, \widehat{BB}$ を求まるが持て孔縫 $\alpha = 0$ はお及び

式(7)より次のとくである。

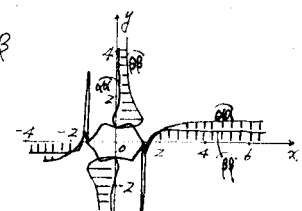


図-3 $\lambda = 0.6$

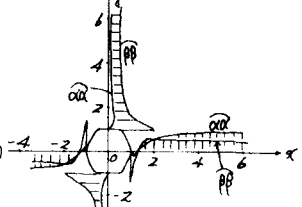


図-4 $\lambda = 1.0$

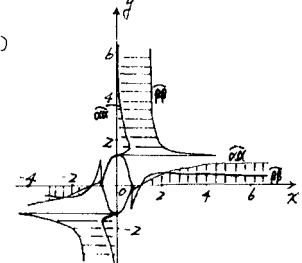


図-5 $\lambda = 2.0$

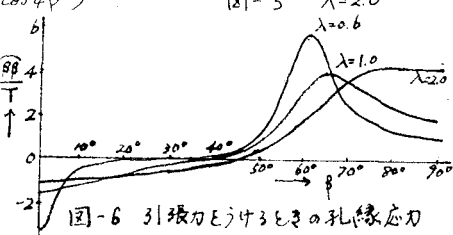


図-6 張力と角度をとる孔縫応力

$$\widehat{(\beta\beta)}_{d=0} = \frac{T[(1+\alpha_i^2 - 25\alpha_5^2 + \alpha_i N_T) - 2\{1 - \alpha_5(6 + \alpha_i)N_T\} \cos 2\beta + 2\alpha_5 N_T \cos 4\beta]}{(1 + \alpha_i^2 + 25\alpha_5^2) - 2\alpha_i \cos 2\beta + 10\alpha_i \alpha_5 \cos 4\beta - 10\alpha_5 \cos 6\beta}$$

図-3, 4, 5は x, y 軸上の $\widehat{\beta\beta}$ と、また図-6は孔縫応力 $(\widehat{\beta\beta})_{d=0}$ と $\lambda = 0.6, 1.0, 2.0$ の値に対する図示したものである。

5. 無限遠においた一様せん断力 S の作用する場合(図-7参照)

χ_0 は式(4)を用いて次式で与えられる。

$$\chi_0 = -Sx_0 = Sb_0^2 \left\{ -\frac{1}{2}(e^{2\alpha} - e^{-2\alpha}) \sin 2\beta + \alpha_5 e^{-4\alpha} \sin 4\beta + \alpha_5 e^{-6\alpha} \sin 6\beta + \frac{1}{2}\alpha_5^2 e^{-10\alpha} \sin 10\beta \right\} \quad \text{図-7}$$

二点目: これは χ_0 は上式を参照して式(4)の左端に遷移するかぎり所要の応力函数 χ は級数式のことを結果とする。
 $\chi = \chi_0 + \chi_1 = Sb_0^2 (F_2 \sin 2\beta + F_4 \sin 4\beta + F_6 \sin 6\beta + F_8 \sin 8\beta + F_{10} \sin 10\beta)$

未定常数を式(6)より求め、上式に代入すれば

$$\chi = Sb_0^2 (F_2 \sin 2\beta + F_4 \sin 4\beta) \quad (45)$$

$$z=1: F_2 = -\frac{1}{2}e^{2\alpha} + \left\{ \frac{1}{2} - (1 - \alpha_5 + \alpha_5^2)N_5 \right\} e^{-2\alpha} + N_5 - \alpha_5 N_5 e^{-4\alpha} + \alpha_5^2 N_5 e^{-6\alpha}$$

$$F_4 = -\alpha_5 N_5 e^{-2\alpha} + 2\alpha_5 N_5 e^{-4\alpha} - \alpha_5 N_5 e^{-6\alpha}$$

$$N_5 = \frac{1}{1 + \alpha_5 - 3\alpha_5^2}$$

式(45)と同様に4. と同様の漸導により $\widehat{\beta\beta}, \widehat{\alpha\beta}$ を求めるが、特に $d=0$ の

孔縫応力 ε を示す以下の式の結果となる。

$$\widehat{(\beta\beta)}_{d=0} = \frac{-4S[(1+3\alpha_5 - 12\alpha_5^2)N_5 \sin 2\beta + 2\alpha_5 N_5 \sin 4\beta]}{(1 + \alpha_i^2 + 25\alpha_5^2) - 2\alpha_i \cos 2\beta + 10\alpha_i \alpha_5 \cos 4\beta - 10\alpha_5 \cos 6\beta}$$

図-8～10は x, y 軸上の $\widehat{\beta\beta}$ と、図-11は孔縫応力 $(\widehat{\beta\beta})_{d=0}$ と $\lambda = 0.6, 1.0$ および 2.0 の値に対する図示したものである。また x, y 軸上の $\widehat{\beta\beta}$ は微小しか影響なし。

6. Deep beam の面内に均一せん断力を作用する場合(図-12参照)

$$\begin{aligned} \chi_0 &= \frac{M}{6I} \delta^3 = \frac{Mb_0^3}{24I} \left[(3e^{3\alpha} - 9\alpha_i e^\alpha + 9\alpha_i^2 e^{-\alpha} - 3\alpha_i^3 e^{-3\alpha} + 6\alpha_5 e^{-9\alpha} - 6\alpha_i \alpha_5 e^{-11\alpha}) \sin \beta \right. \\ &\quad + (-\alpha_5^3 e^{-3\alpha} + 3\alpha_i e^\alpha - 3\alpha_i^2 e^{-\alpha} + \alpha_i^3 e^{-3\alpha} - 6\alpha_i \alpha_5 e^{-5\alpha} + 3\alpha_i^2 \alpha_5 e^{-7\alpha}) \sin 3\beta \\ &\quad - (6\alpha_5 e^{-3\alpha} - 12\alpha_i \alpha_5 e^{-5\alpha} + 6\alpha_i^2 \alpha_5 e^{-7\alpha} + 3\alpha_i^3 e^{-15\alpha}) \sin 5\beta + (3\alpha_5 e^{-3\alpha} \\ &\quad - 6\alpha_i \alpha_5 e^{-5\alpha} + \alpha_i^2 \alpha_5 e^{-7\alpha}, 7\beta + (\alpha_i^2 e^{-9\alpha} - 3\alpha_i \alpha_5 e^{-11\alpha}) \sin 9\beta \\ &\quad \left. - (3\alpha_5 e^{-9\alpha} - 3\alpha_i \alpha_5^2 e^{-11\alpha}) \sin 11\beta + \alpha_5^3 e^{-15\alpha} \sin 15\beta \right] \end{aligned}$$

一方 χ_0 は上式を参照して式(4)の中より遷移するかぎり、結果は次式のことを示す。

$$\chi = \chi_0 + \chi_1 = \frac{Mb_0^3}{24I} [F_1 \sin \beta + F_3 \sin 3\beta + F_5 \sin 5\beta + F_7 \sin 7\beta + F_9 \sin 9\beta + F_{11} \sin 11\beta + F_{13} \sin 13\beta + F_{15} \sin 15\beta]$$

未定常数を式(6)より求めると $F_9 = F_{11} = F_{13} = F_{15} = 0$ となり、結局

$$\chi = \frac{Mb_0^3}{24I} [F_1 \sin \beta + F_3 \sin 3\beta + F_5 \sin 5\beta + F_7 \sin 7\beta] \quad (46)$$

z=1:

$$F_1 = (-3 - 3\alpha_i^3 + 24\alpha_i \alpha_5^2 - 30\alpha_i^2 \alpha_5 + \alpha_i N_B) e^\alpha + (3 - 6\alpha_i^3 - 30\alpha_i \alpha_5^2 + 36\alpha_i^2 \alpha_5^2 e^{-11\alpha} - 2\alpha_i N_B) e^{-11\alpha} + (3\alpha_i^3 - \alpha_i N_B) e^{-3\alpha} + 6\alpha_i \alpha_5^2 e^{-9\alpha} - 6\alpha_5^2 e^{-11\alpha}$$

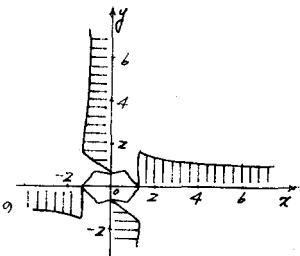


図-8 $\lambda = 0.6$

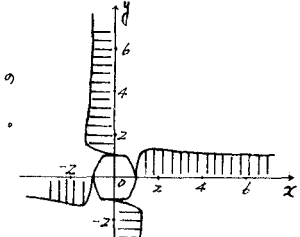


図-9 $\lambda = 1.0$

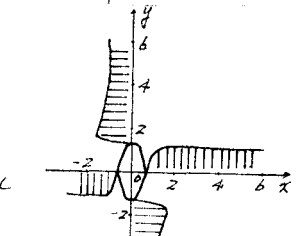
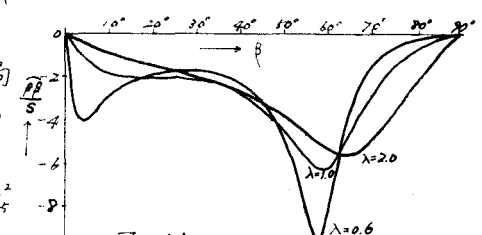


図-10 $\lambda = 2.0$



せん断力を受けるときの孔縫応力

$$F_3 = -e^{-3\alpha} + 3\alpha_i e^{\alpha} - (3\alpha_i^2 - N_B) e^{-\alpha} + \{1 - 3\alpha_i + 3\alpha_i^2 + 3\alpha_i^2 \alpha_5 - (1-\alpha_5)N_B\} e^{-3\alpha} - 6\alpha_i^2 \alpha_5 e^{-5\alpha}$$

$$+ (3\alpha_i^2 \alpha_5 - \alpha_5 N_B) e^{-7\alpha}$$

$$F_5 = -6\alpha_i \alpha_5 e^{-3\alpha} + 12\alpha_i \alpha_5 e^{-5\alpha} - 6\alpha_i \alpha_5 e^{-7\alpha}$$

$$F_7 = 3\alpha_5 e^{-3\alpha} - 6\alpha_5 e^{-5\alpha} + 3\alpha_5 e^{-7\alpha}$$

$$N_B = \frac{3 - 6\alpha_i + 3\alpha_i^2}{1 + 2\alpha_5}$$



図-12

式(16)と同様の演算より所要の α_2 , α_4 , α_6 を求めるが、特に $\lambda=0$ の孔縁応力を示す。

$$(\beta\beta)_{\lambda=0} = \frac{M_B \left[(1 - \alpha_i^3 + 2\alpha_i \alpha_5^2 - 3\alpha_i^2 + \frac{1}{3}\alpha_i N_B) \sin\beta + \{-\alpha_i + \alpha_i^2 + \alpha_i^2 \alpha_5 - \frac{1}{3}(1 + 5\alpha_5)N_B\} \sin 3\beta \right]}{I \left\{ (1 + \alpha_i^2 + 25\alpha_5^2) - 2\alpha_i \cos 2\beta + 10\alpha_i \alpha_5 \cos 4\beta - 10\alpha_5 \cos 6\beta \right\}}$$

図-13～15は x , y 軸上の $\beta\beta$ とまた図-16は孔縁応力 ($\beta\beta$) と $\lambda = 0.6, 1.0, 2.0$

に對してそれぞれ図示したものである。

7 考察および結び

本論は非正六角形孔を有する板が引張力, セン断力, 曲げモーメント等の面内荷重を受けるときの孔縁応力および x , y 軸上の応力を二次元弾塑性的に求める, これが形状を支配する座数入に対しても図示したものである。

その結果計算によりあげた範囲内で次のことが明らかとなつた。

(i) 引張力下を受ける場合最も応力集中が著しいのは正六角形に近い。

$\lambda = 0.6$ のときであり, 外力Tの約5.5倍にも及ぶ。最小の応力集中は $\lambda = 2.0$ のときであるが図-14とく離部の丸みがかなり影響し, 質量的判断には疑義がある。

(ii) セン断力 S を受ける場合, 応力集中は $\lambda = 0.6$ のとき最大で, $\lambda = 2.0$ のとき最小となり, S の約9.5倍であるが(i)と同じ疑義が残る。

(iii) Deep beam がその面内に均一な曲げモーメント M をうける場合には

$\lambda = 2.0$ の場合に最大の応力集中がみられ, $\lambda = 0.6, 1.0$ ともに同程度の応力集中が生じる特徴は丸味を加味すれば更に顕著となると思われる。

(iv) 引張力, セン断力あるいは曲げモーメントの併用を受ける場合 x 軸上の応力は孔のない場合の応力に急速に近づいていく。これより本解法は孔の高さの約3～4倍の平行高さにおける有孔梁に適用しうると云ふ, 実用され2.3 Castellated Beam のときは有限平行高さを考慮すべき別途課題となることが明白となり, これは今後も自ら研究進行中である。

以上のことより $\delta = 0.77$ と固定したことにより, 離部の丸みが各形状でかなり相違し, 正確な比較となり難かつた。 δ を固定せよ

丸味と合致せざる吟味が興味ある課題として残り, いずれ後日発表の予定である。

最後に有益なる御助言を賜った九州大学応用力学研究
所熊井豊二教授に厚く謝意を表す。

参考文献 ①山崎龍夫 後藤“六角形孔を有する板の孔縁応力”, 第1回年次学術講演会講演概要 S41.5
②C.W.Prophaska: "Vibrations Verticales du Navire" Bull. A.T.M.A., 1947

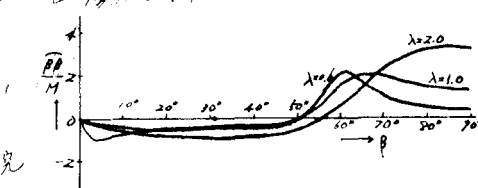
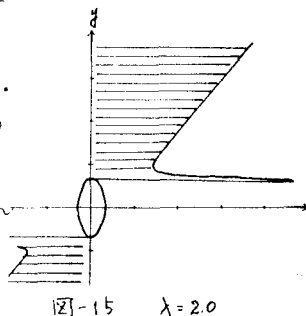
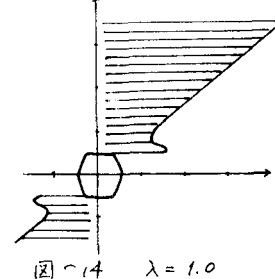
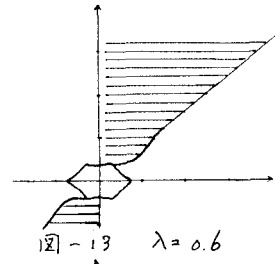


図-16 曲げモーメントを受ける六角孔の孔縁応力